

Fig. 1

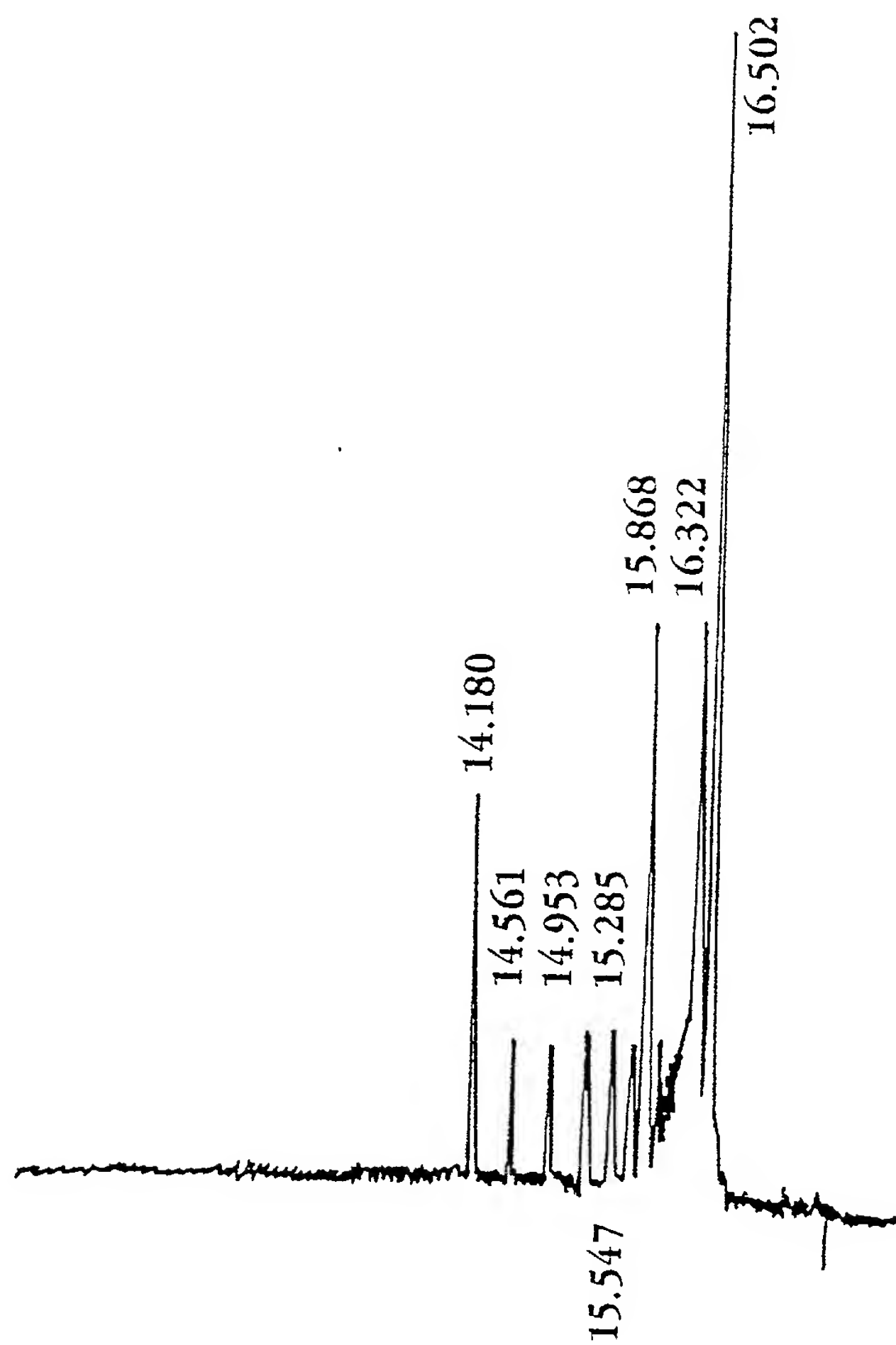


Fig. 2

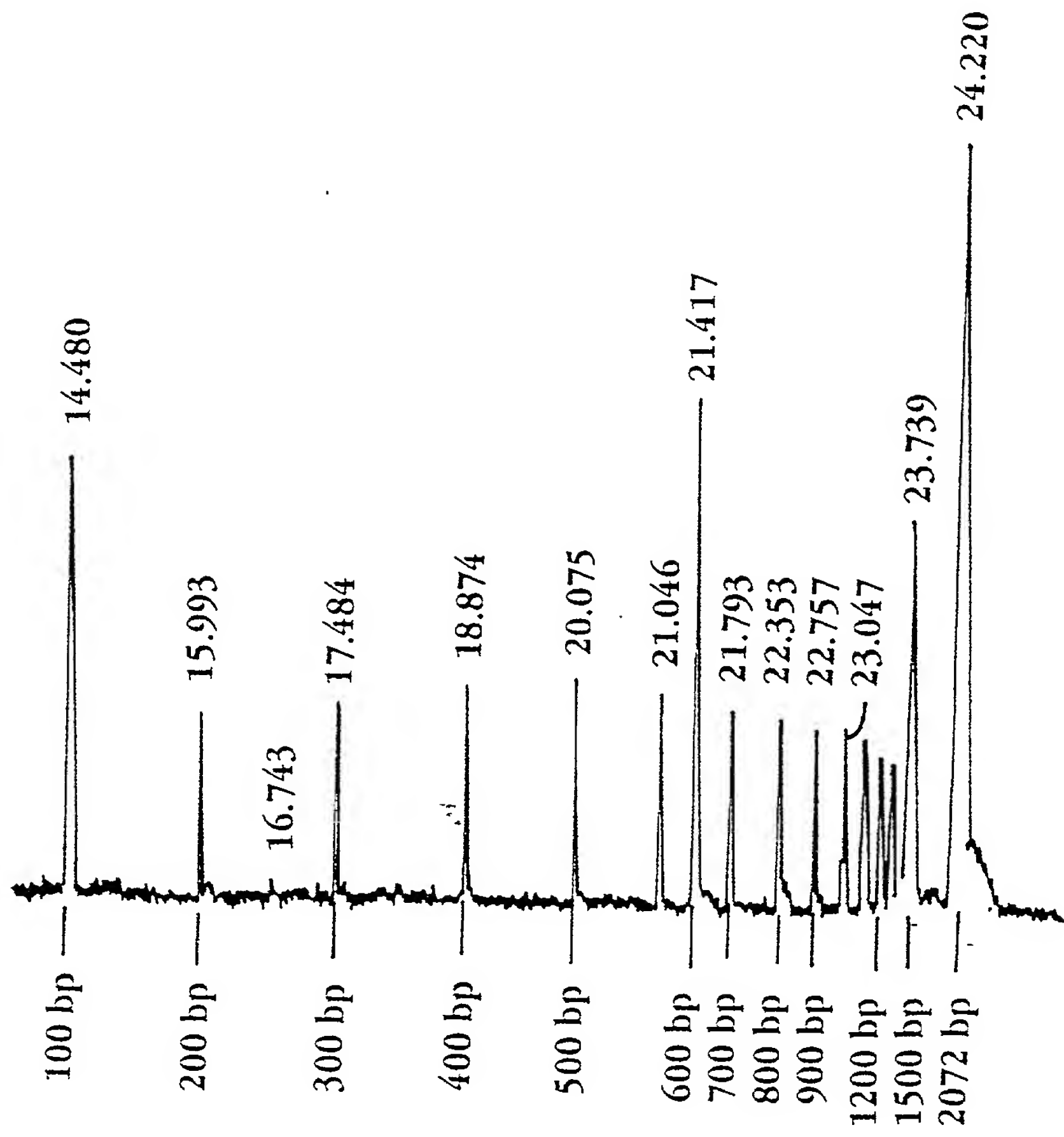


Fig. 3

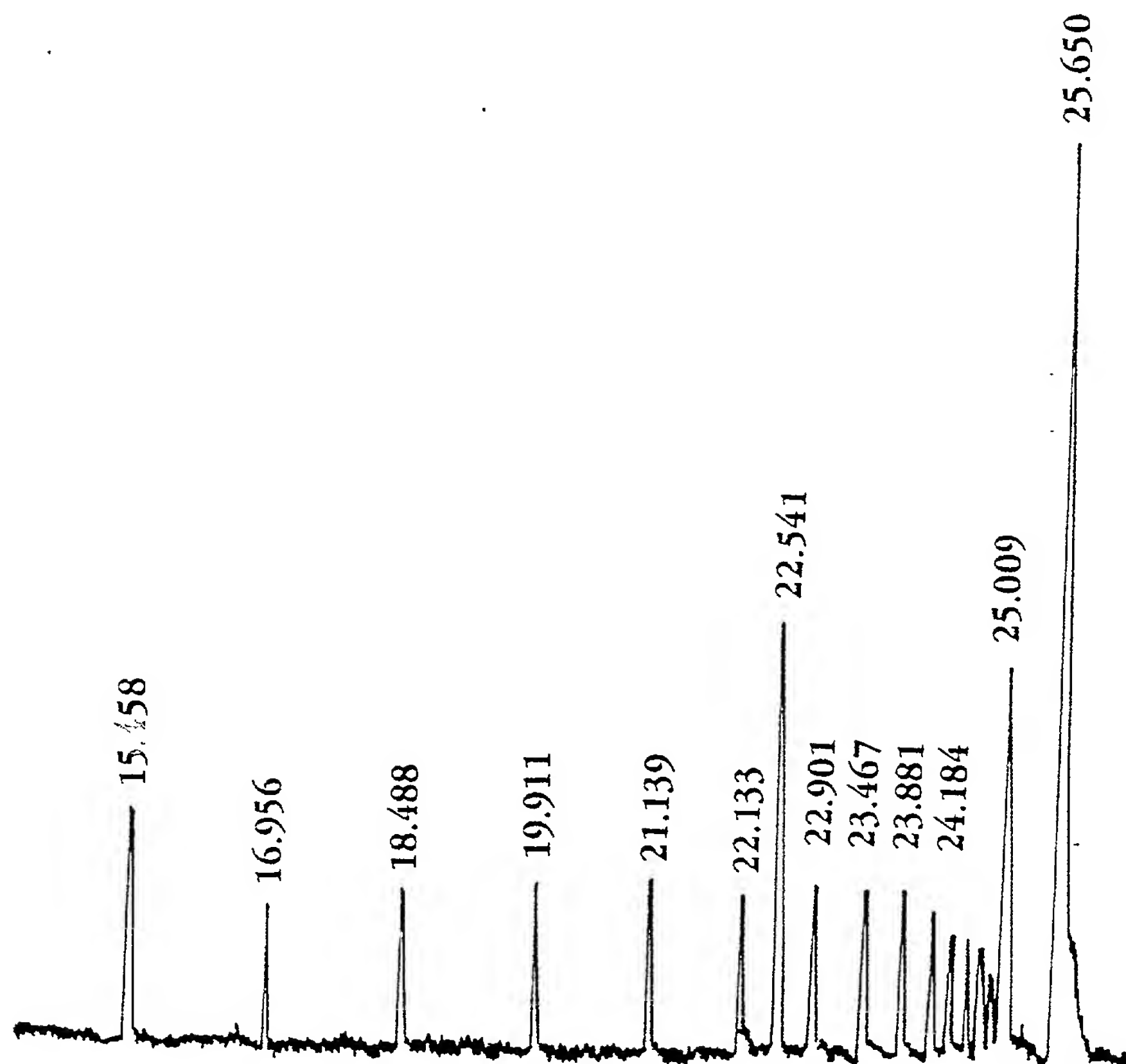


Fig. 4

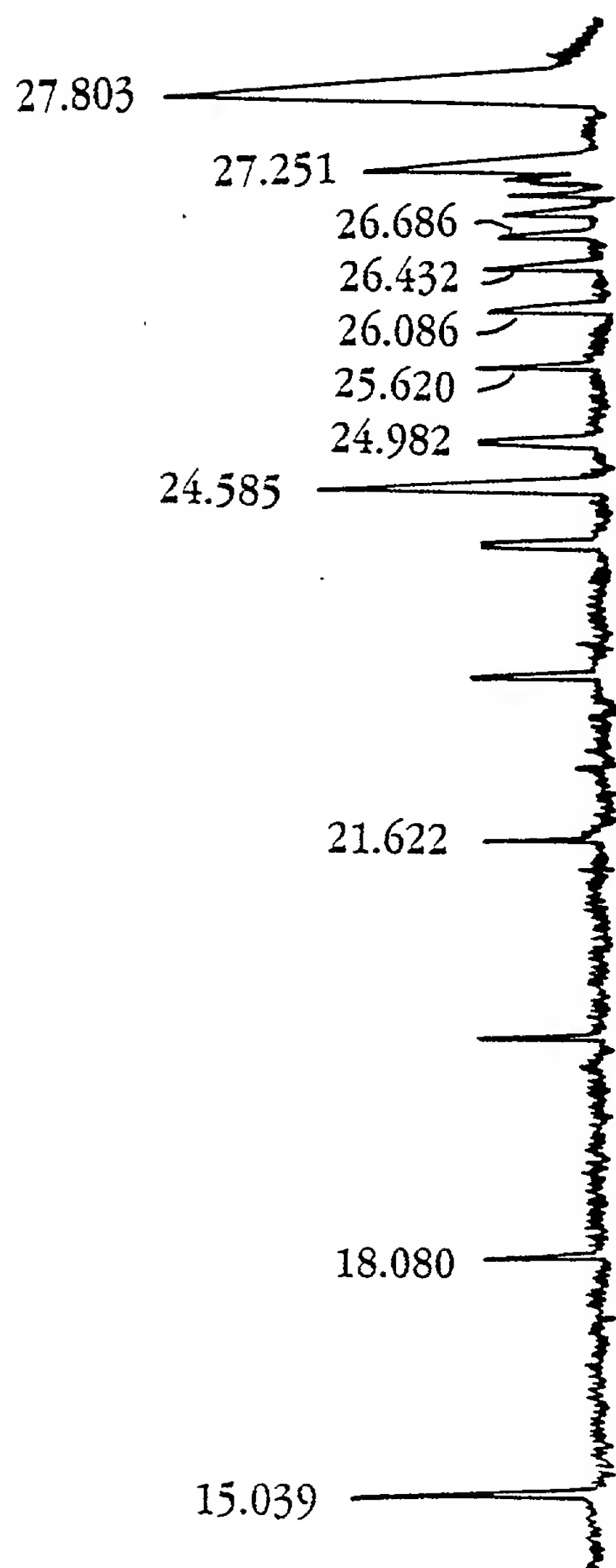


Fig. 5

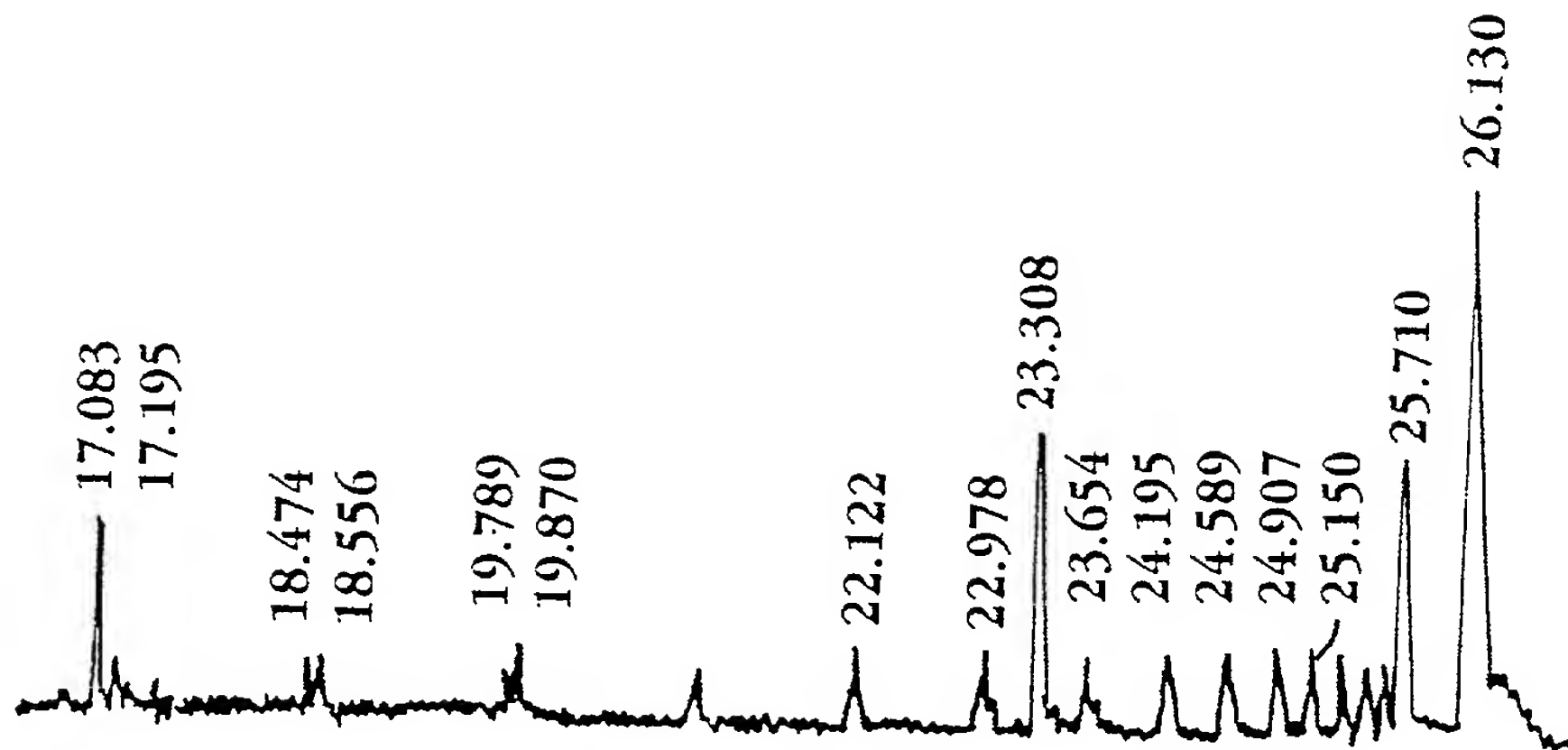


Fig. 6A

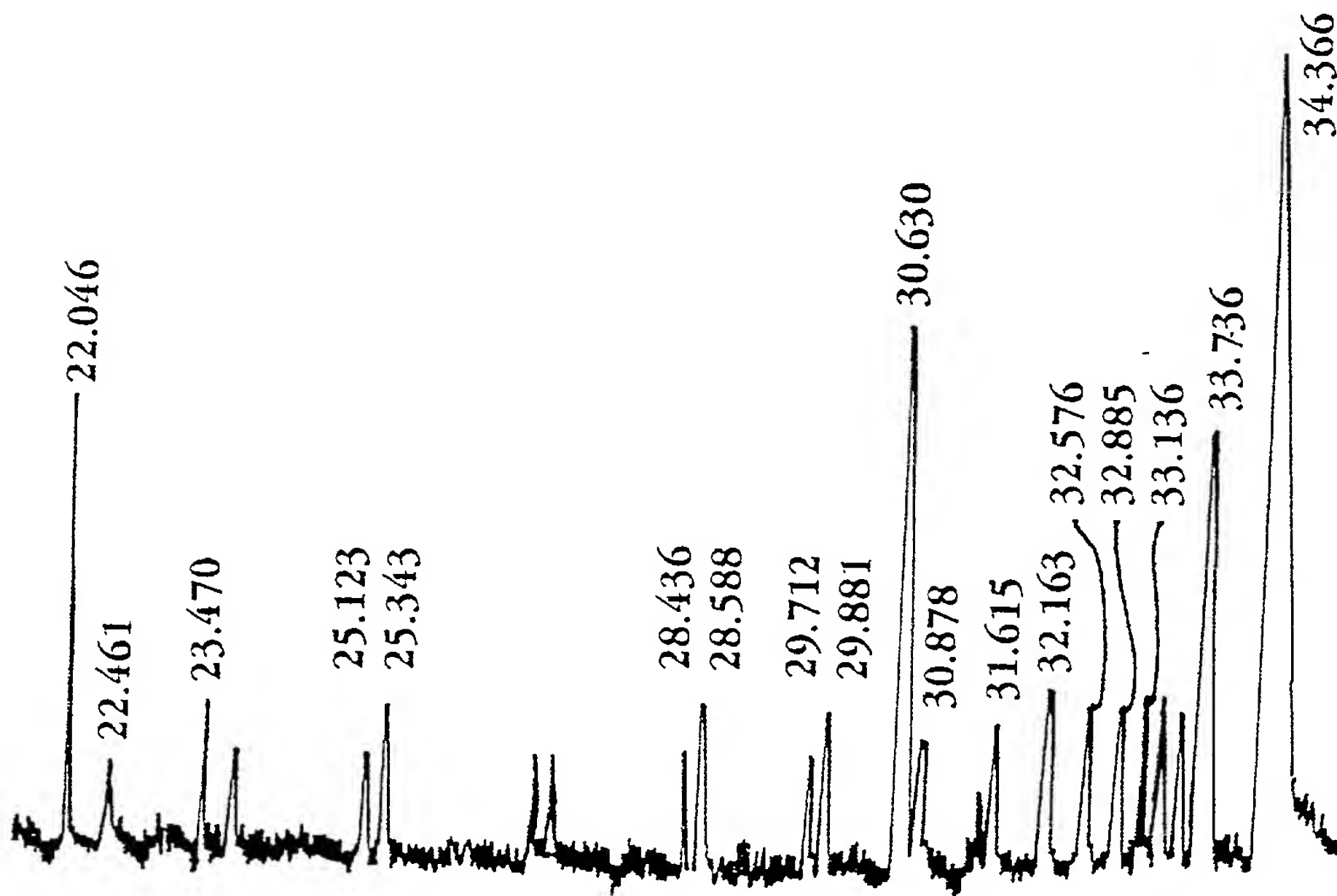


Fig. 6B

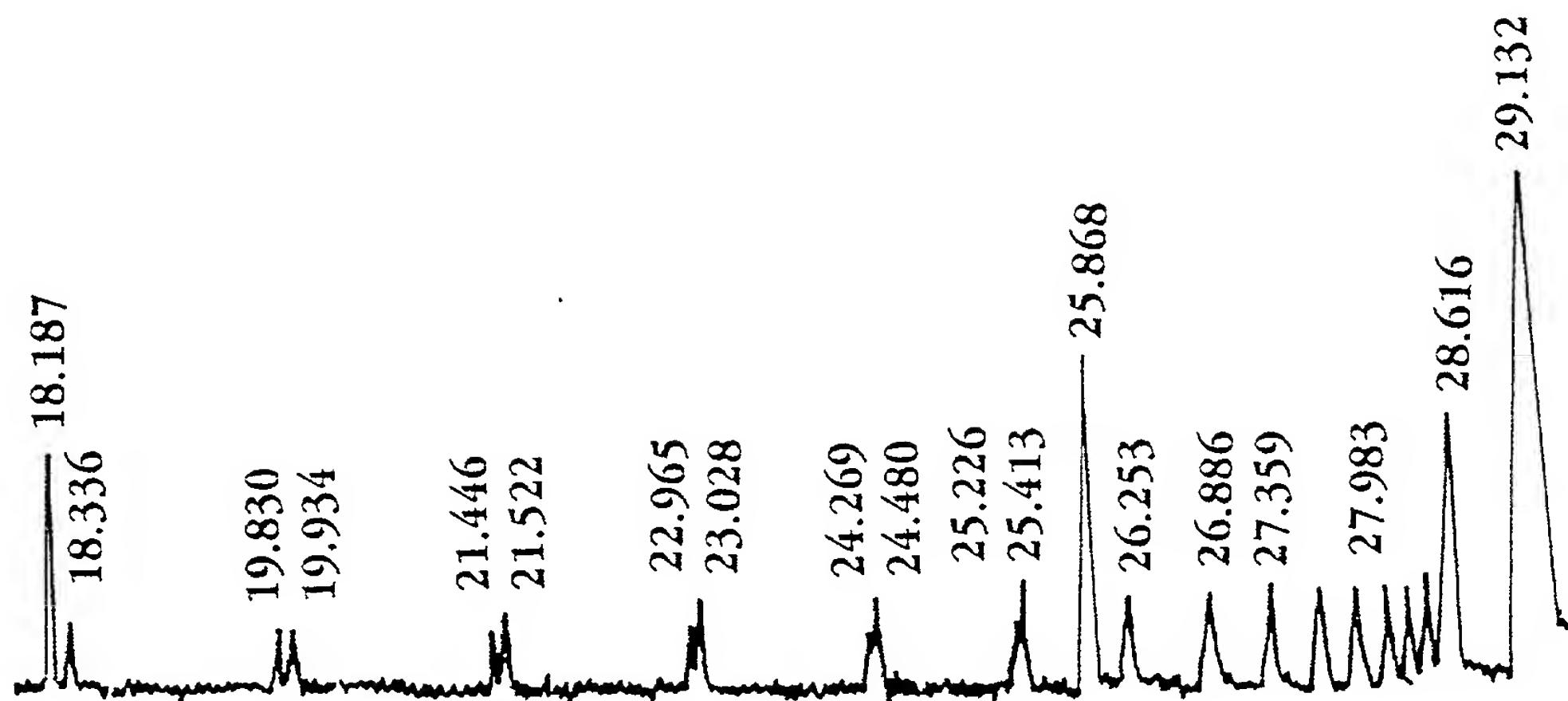


Fig. 6C

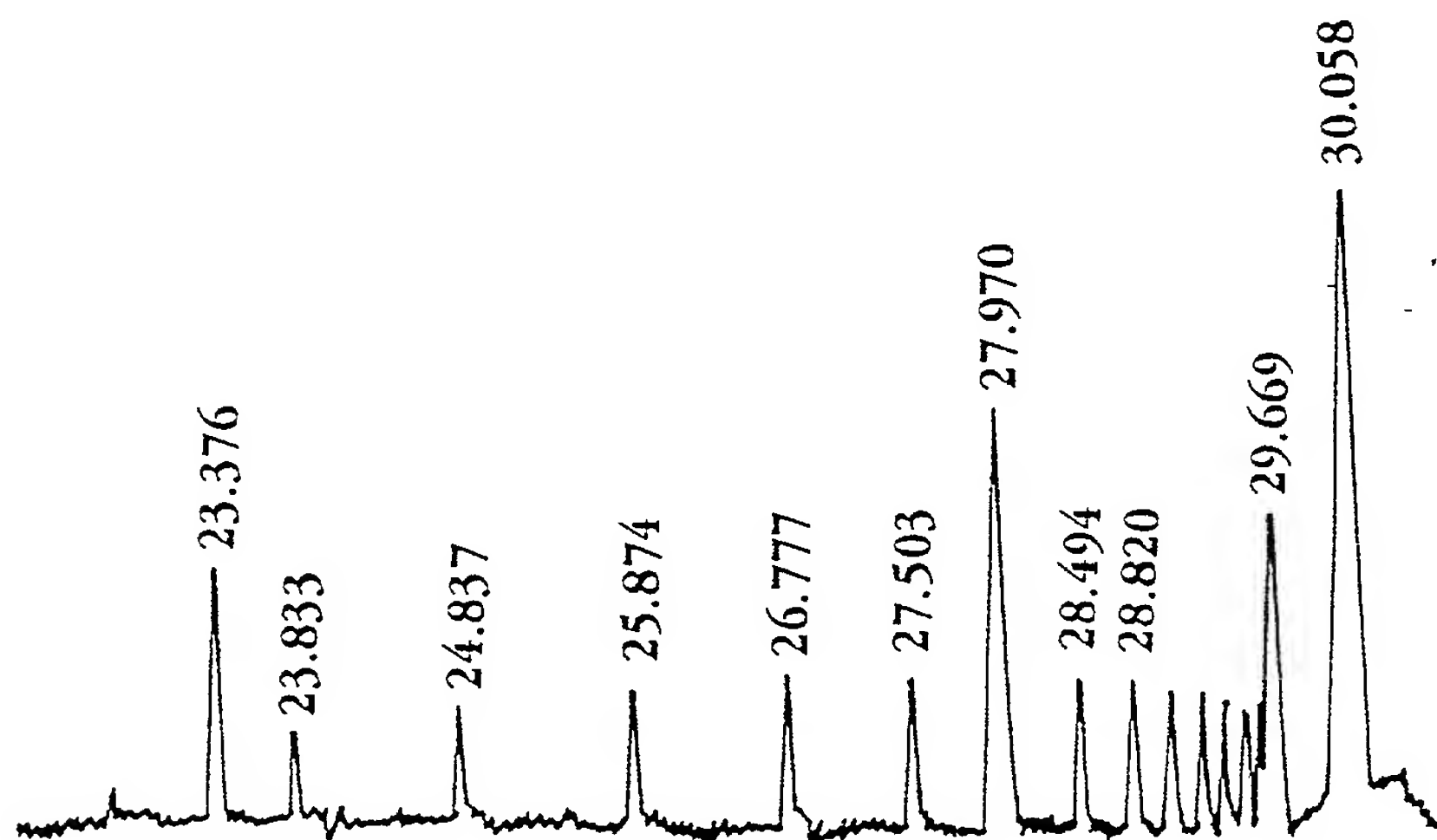


Fig. 6D

TOGETHER

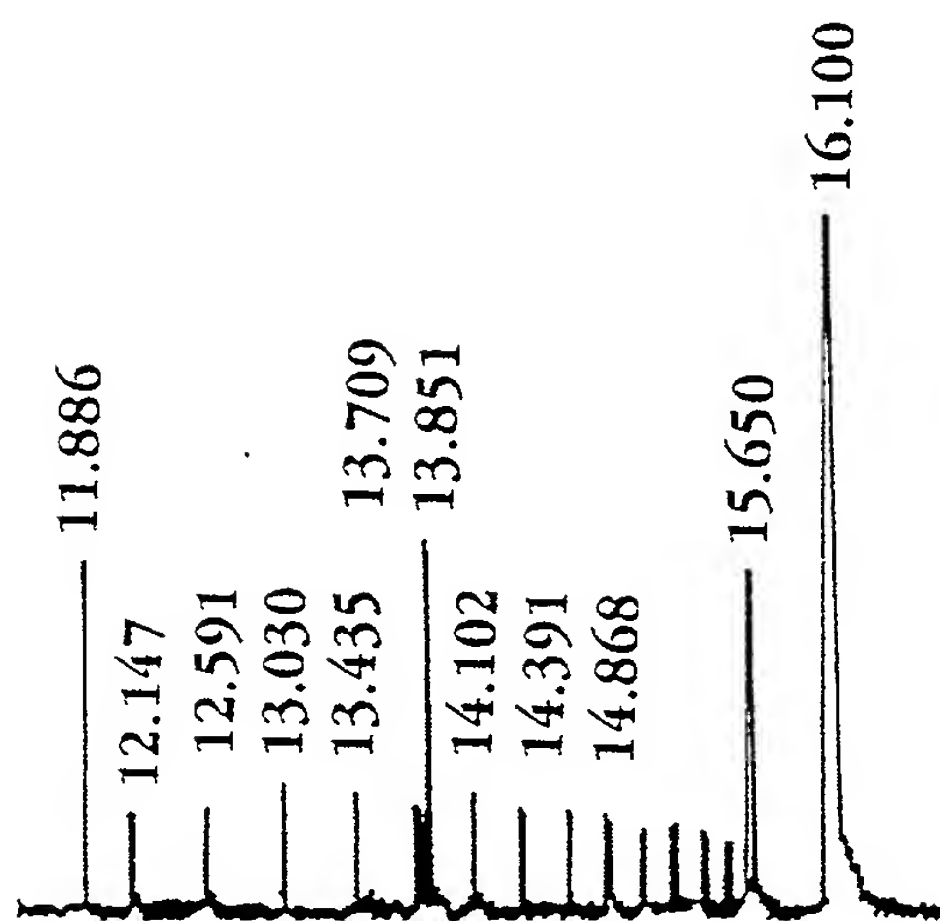


Fig. 6F

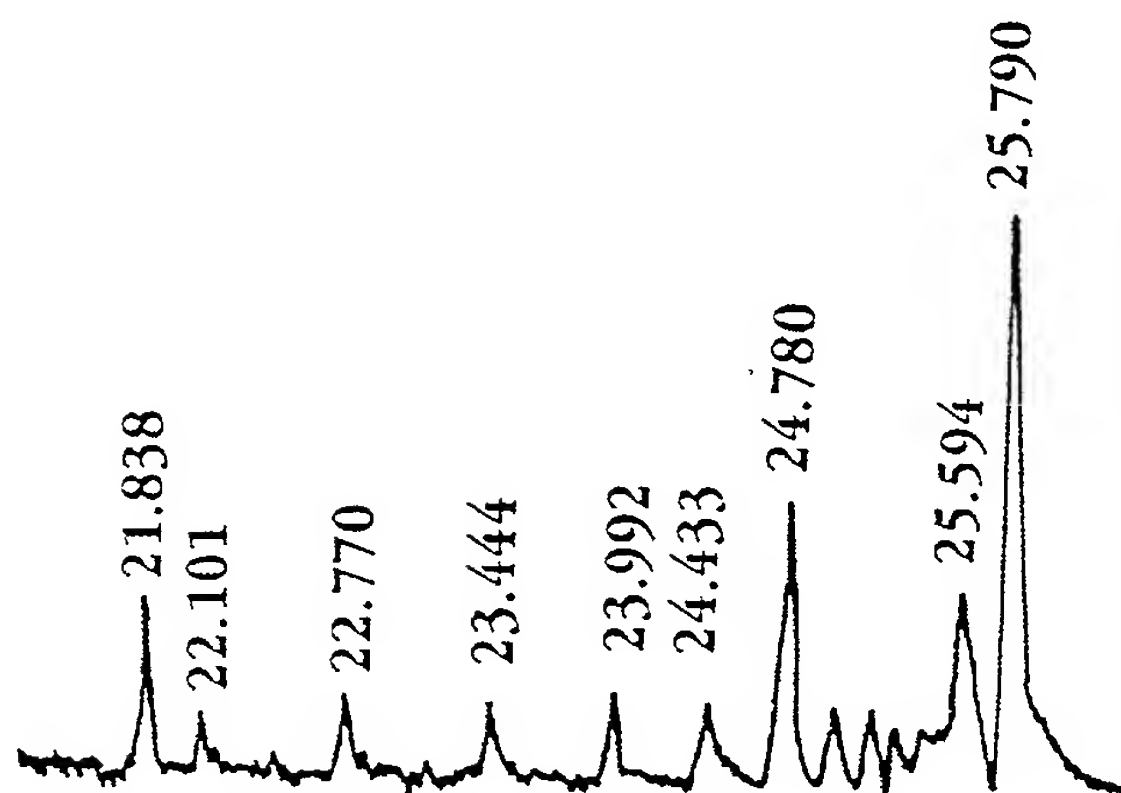


Fig. 6F

Corrected chromat

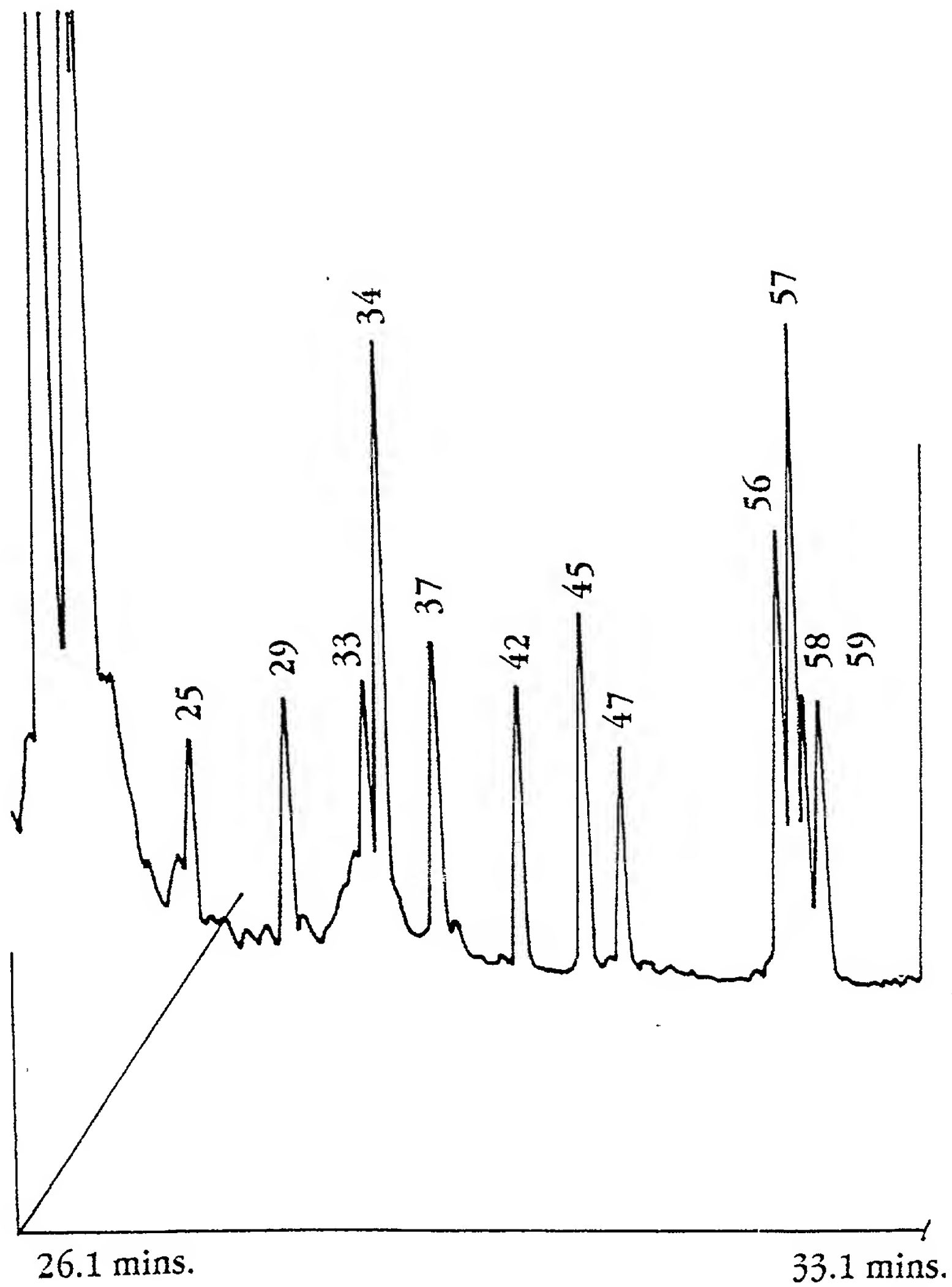


Fig. 7A

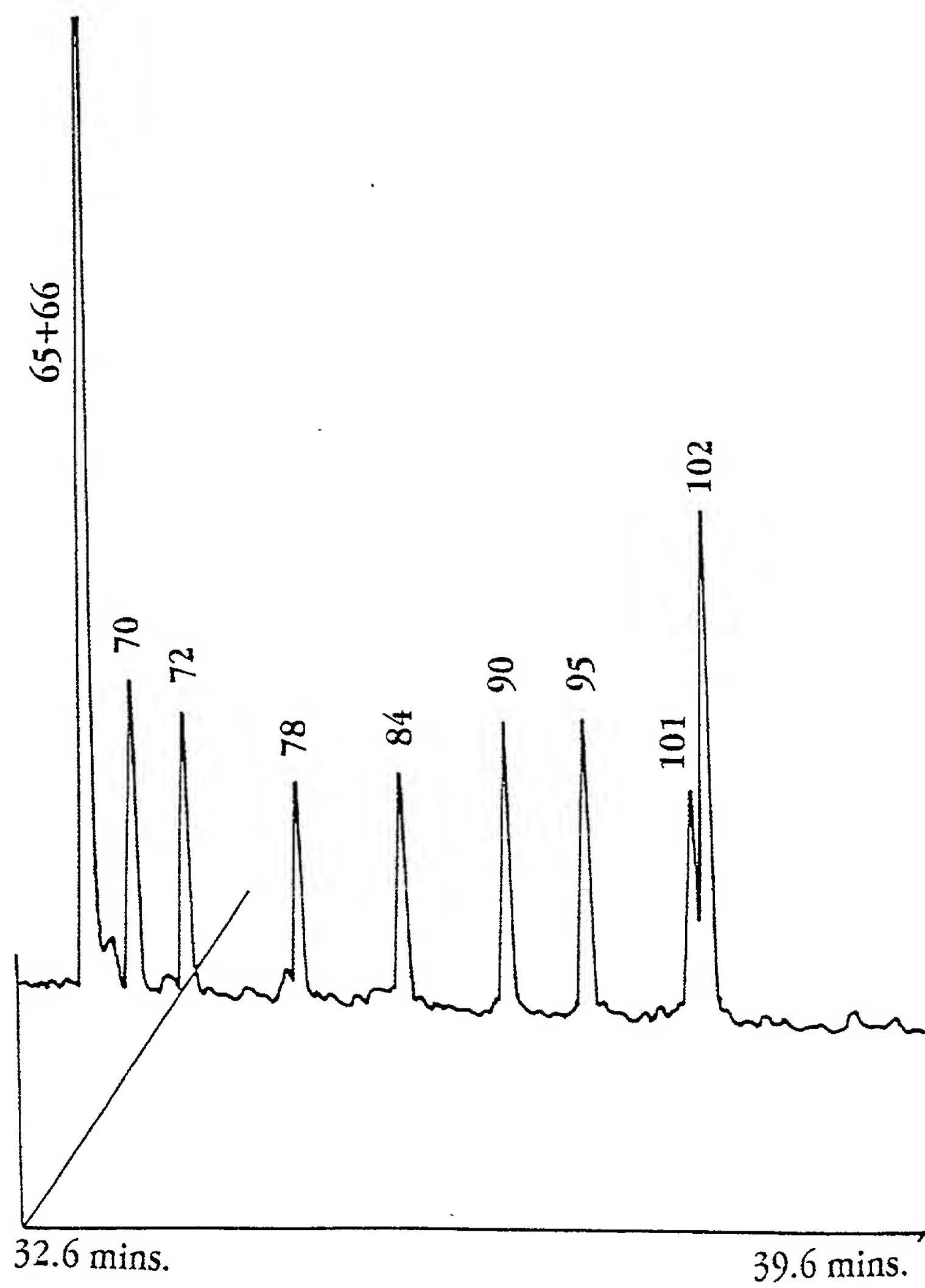


Fig. 7B

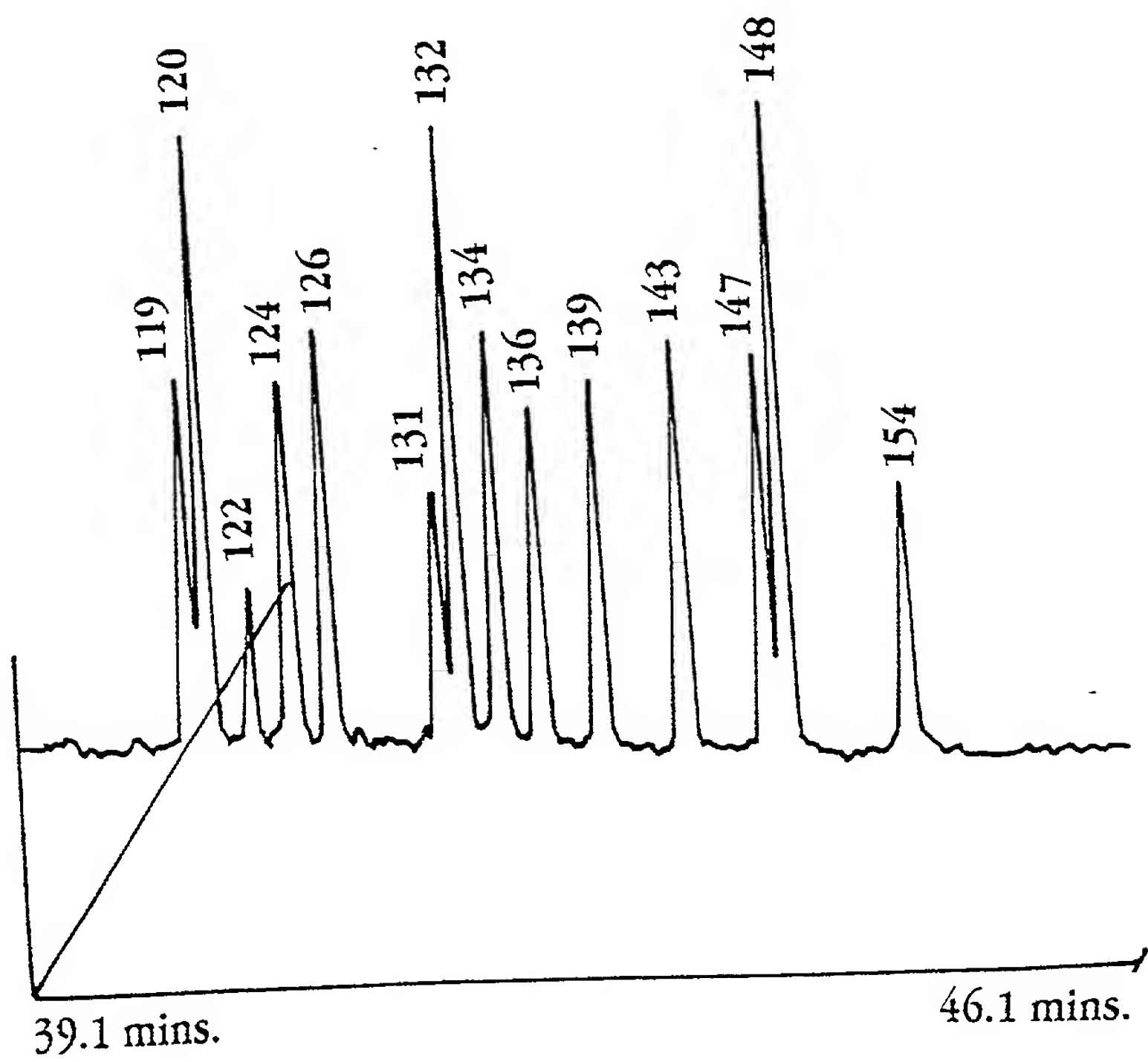


Fig. 7C

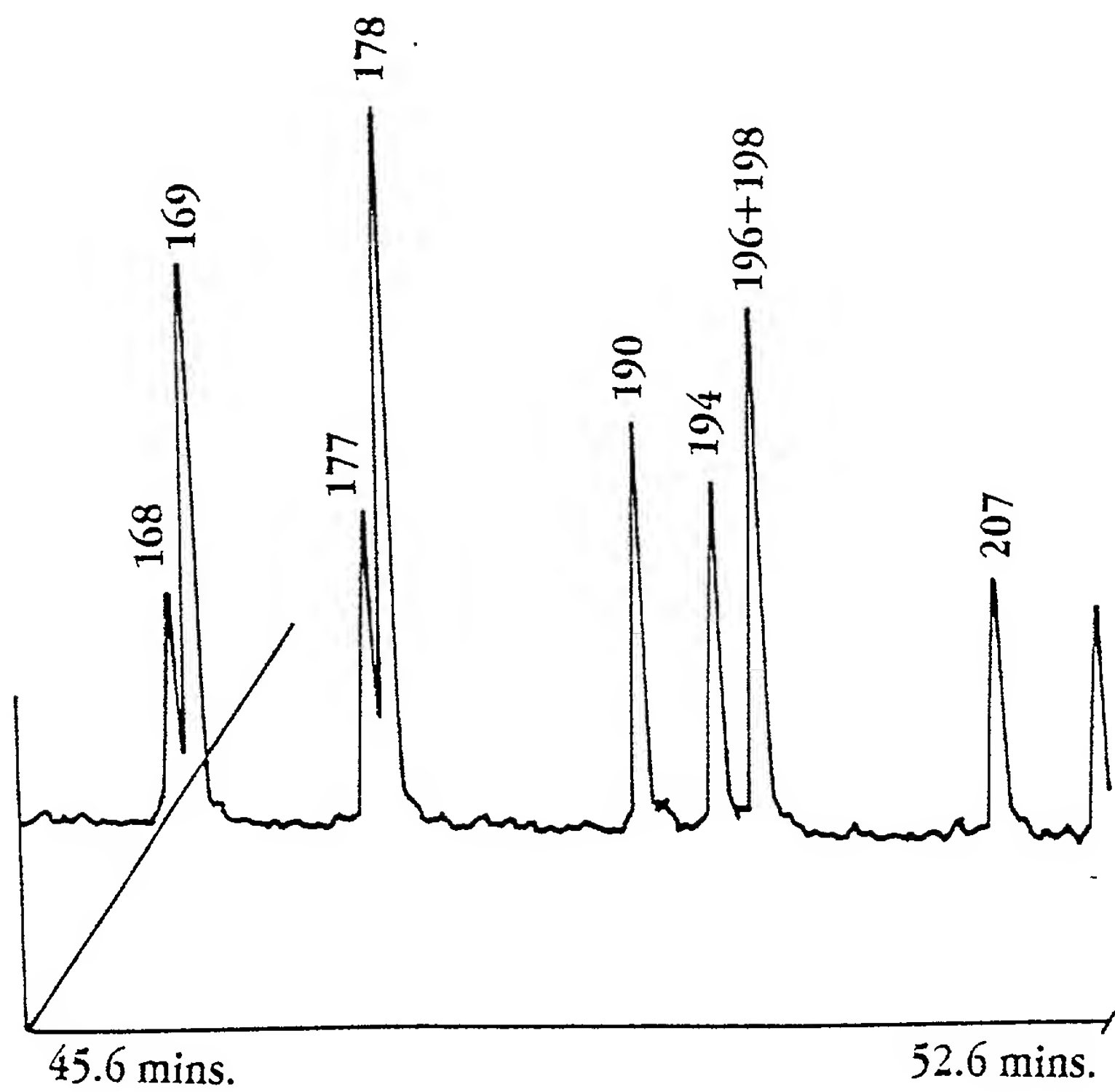


Fig. 7D

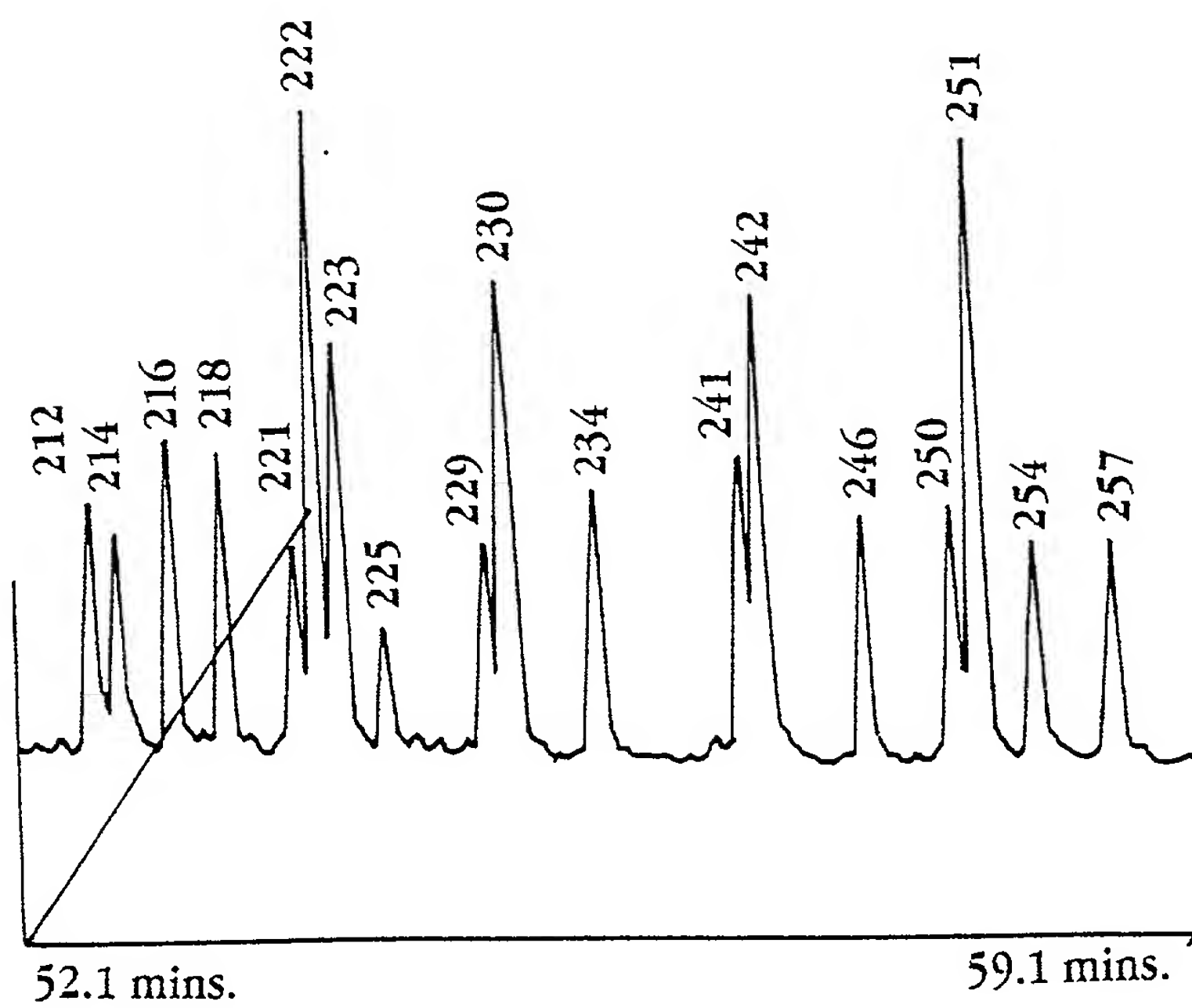


Fig. 7E

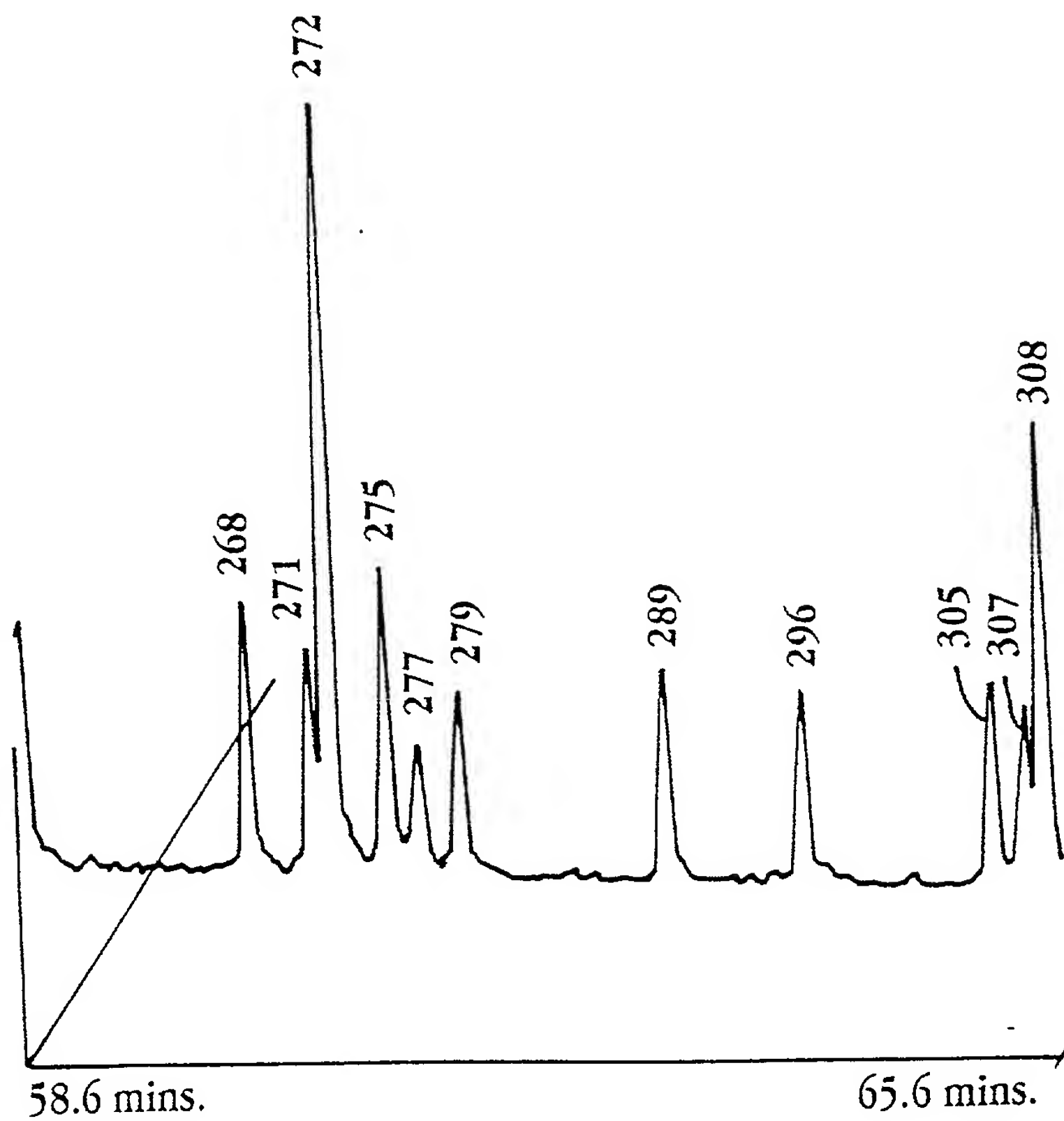


Fig. 7F

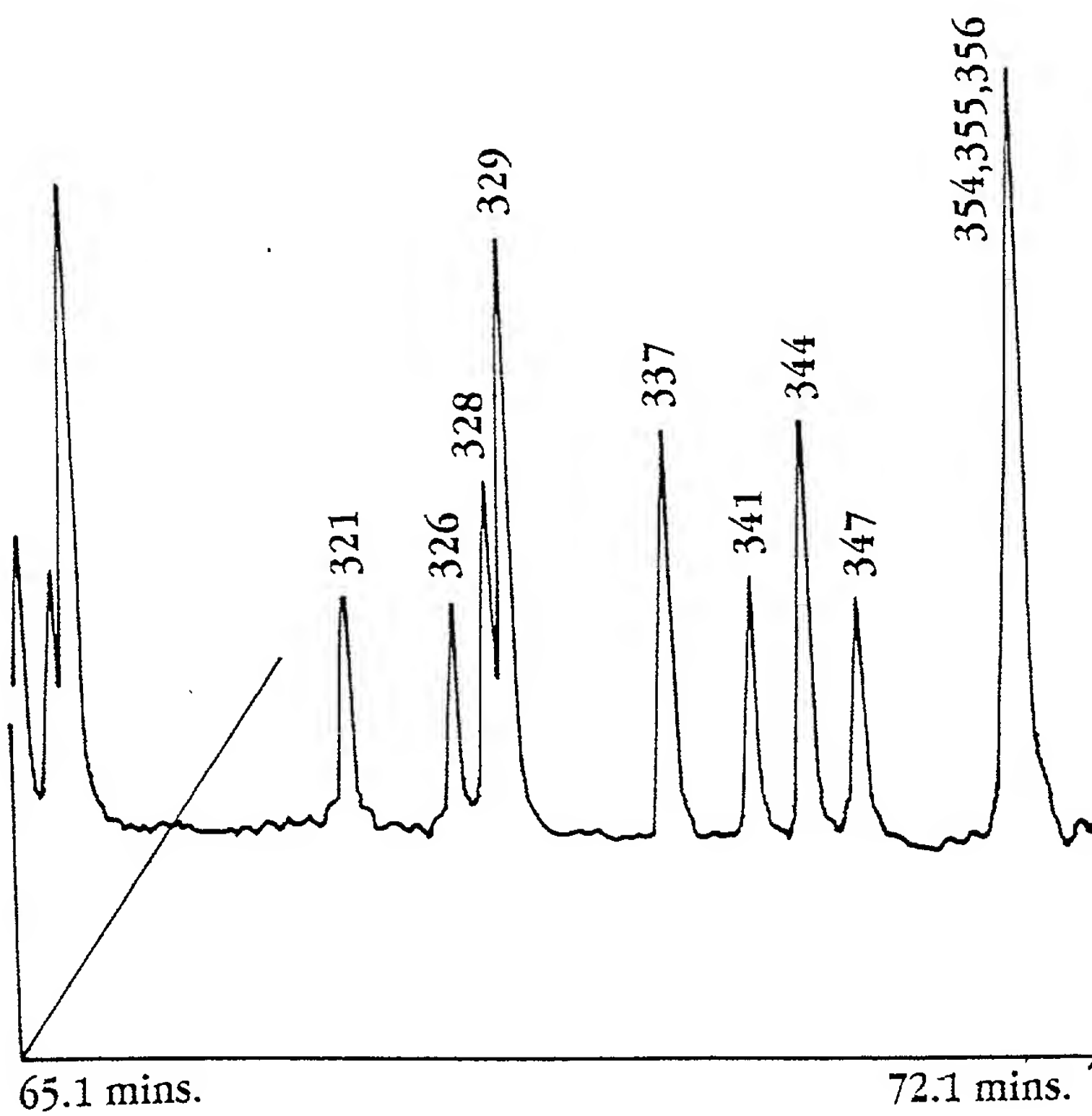


Fig. 7G

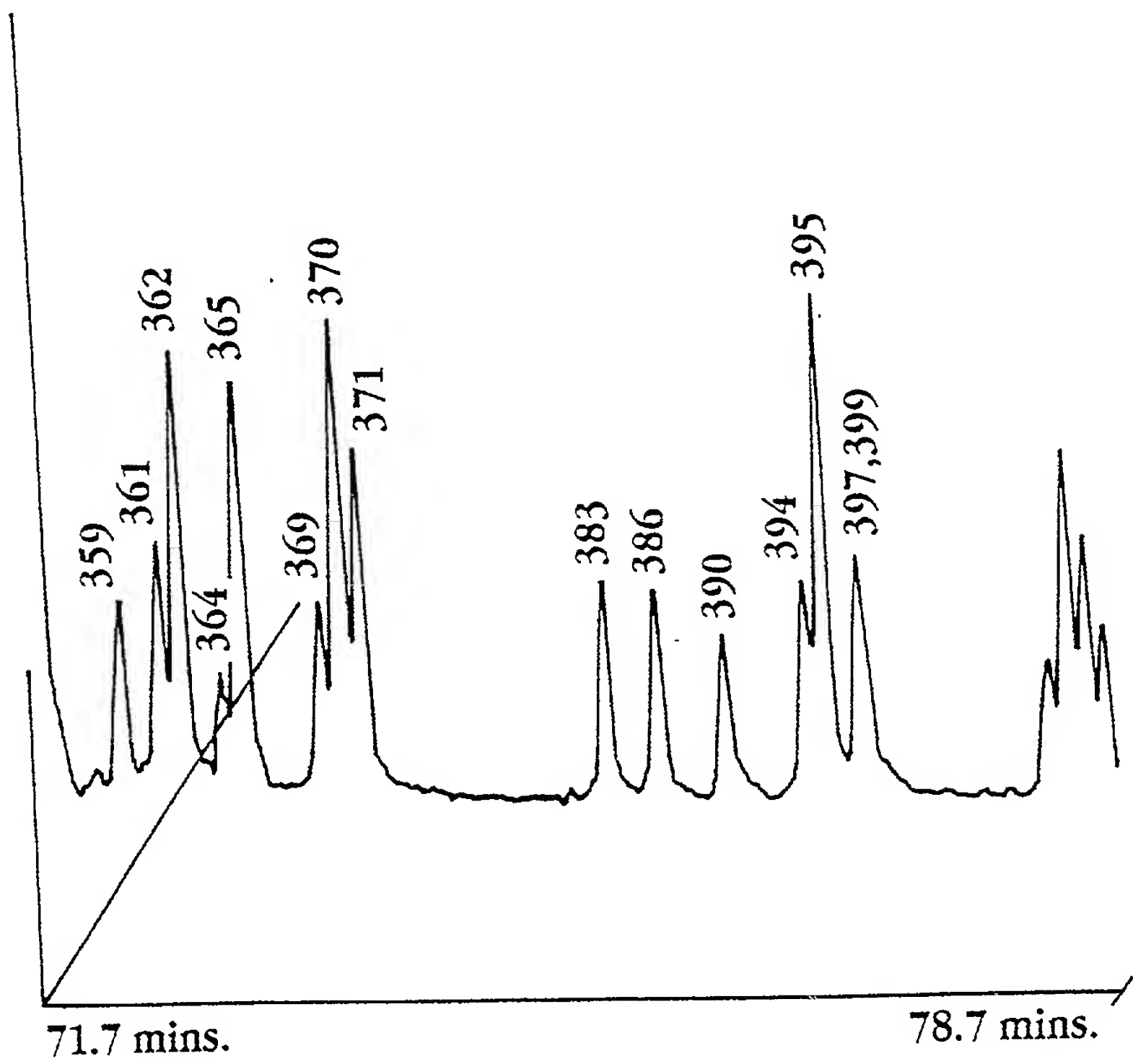


Fig. 7H

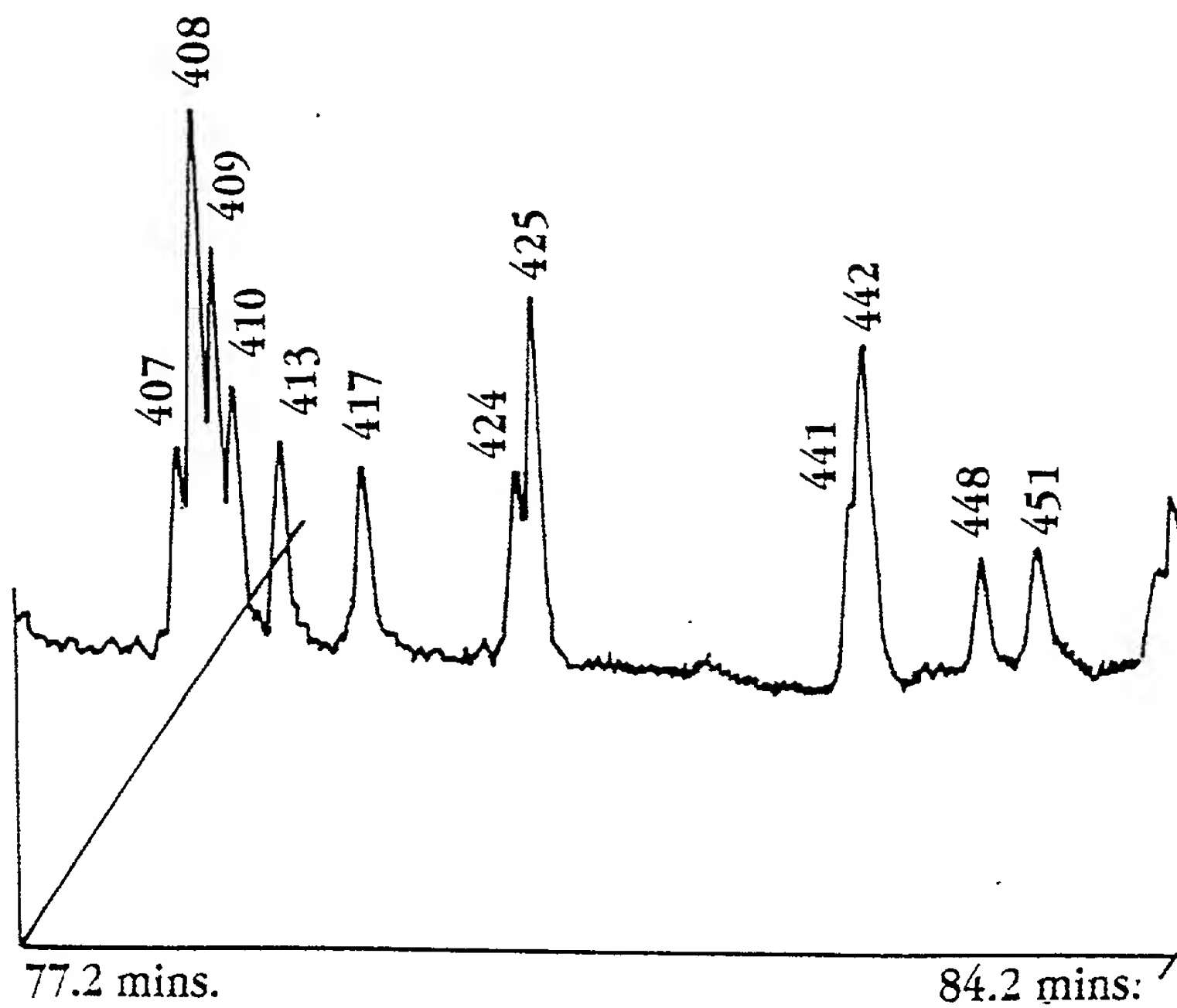


Fig. 7I

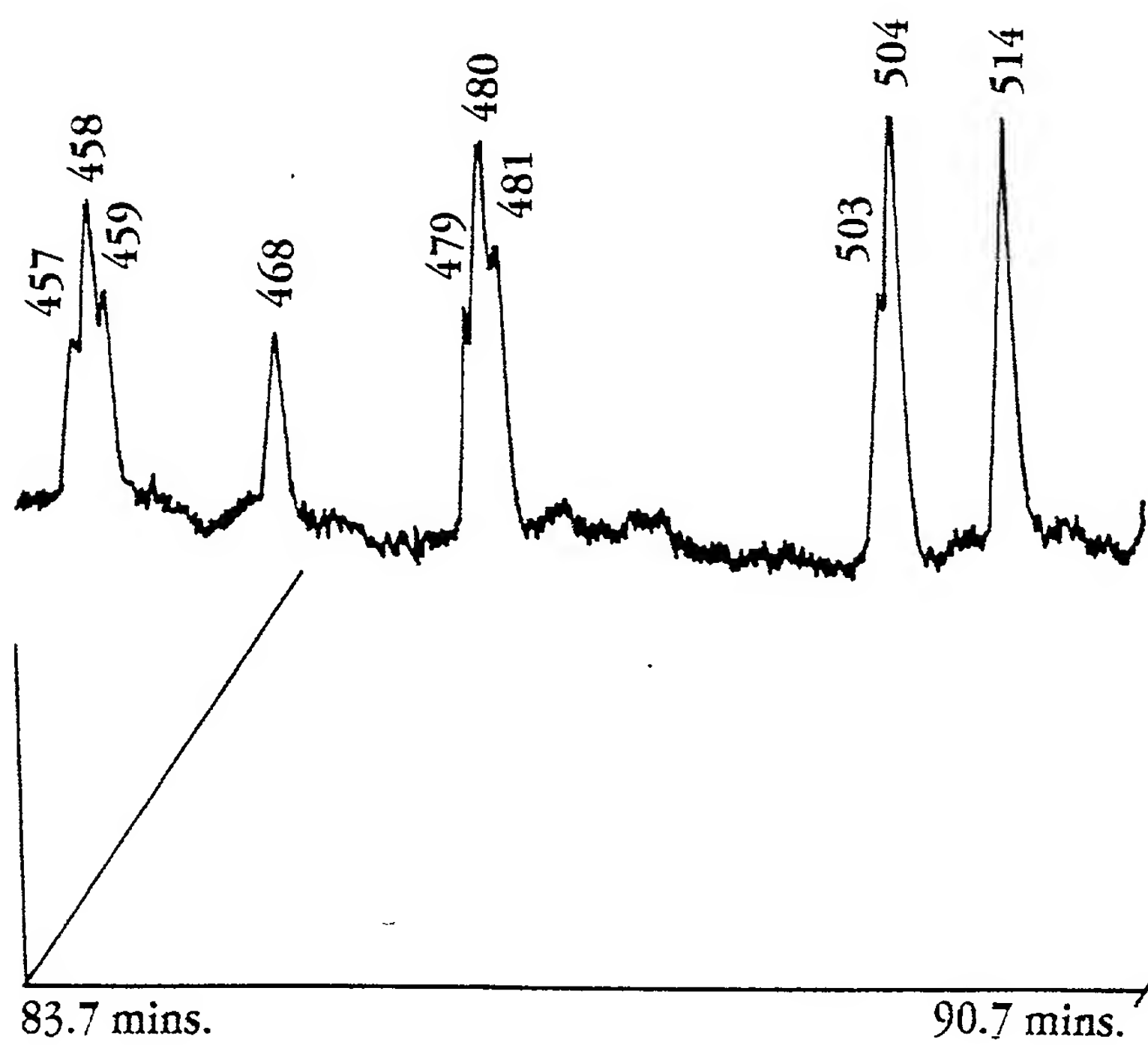


Fig. 7J

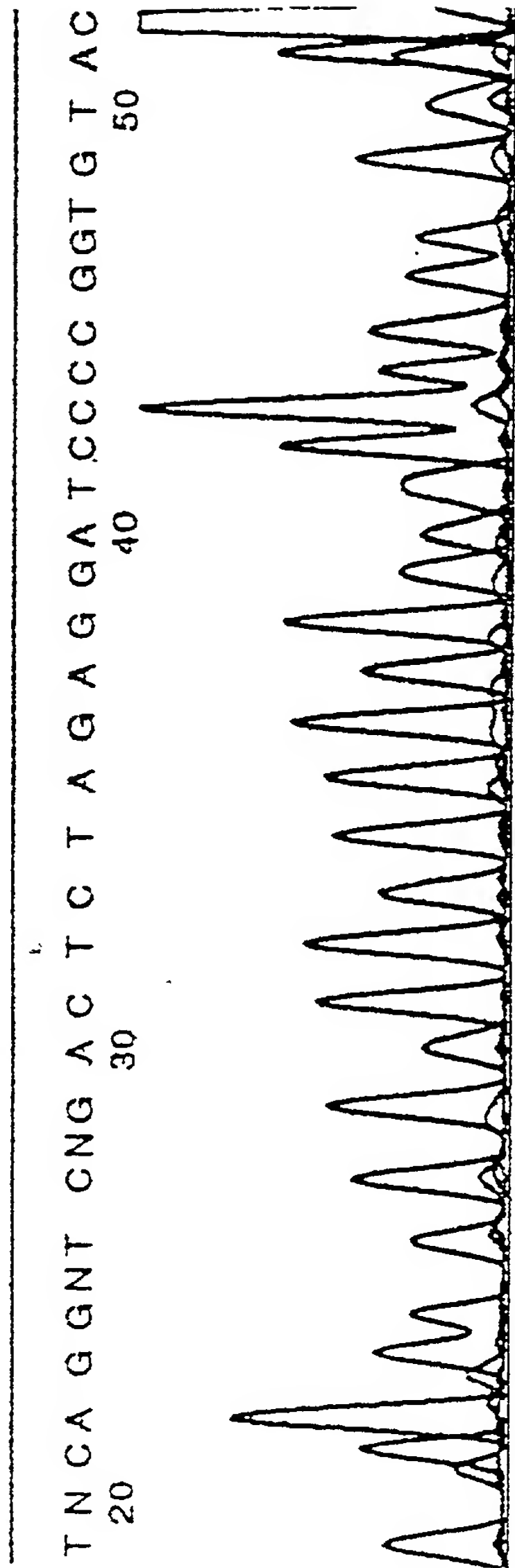


Fig. 8A

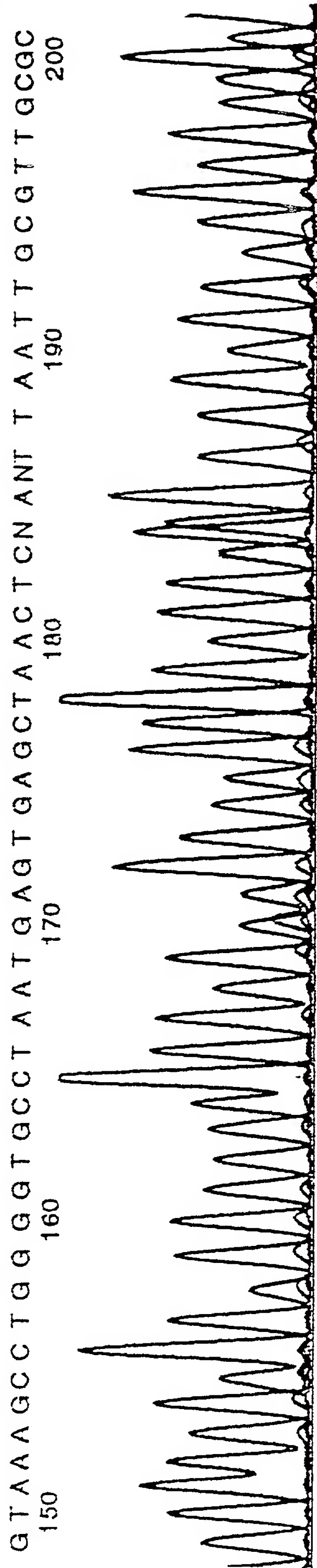


Fig. 8B

A T G A A T C G G C C A A C G G C G G G G A G A G G C G G T T T G C G T A T T G G G C G C C A G G G T G
250 260 270 280 290 300

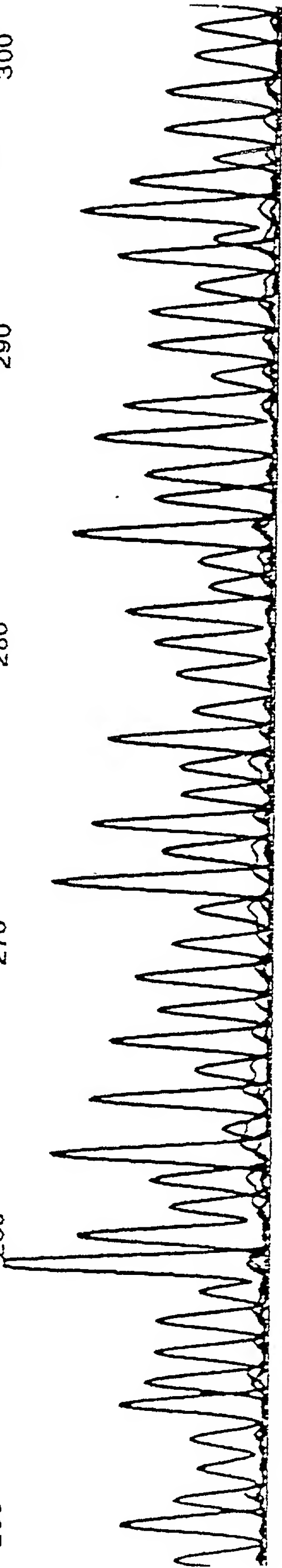


Fig. 8C

C A G C A G G C G A A A A T C C T G T T T N A T G G T G G T T C C G A A A T C G G C A A A T C C C T T A T A
400 410 420 430 440 450

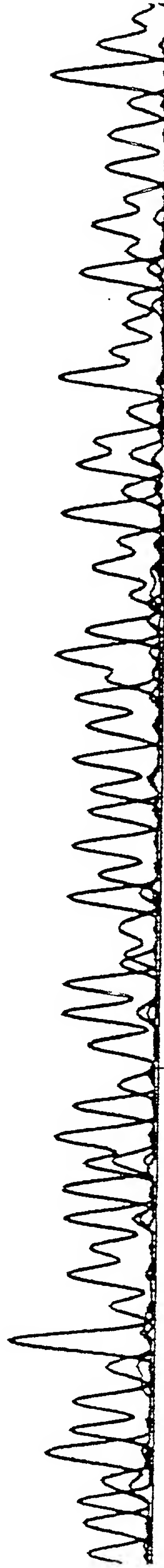


Fig. 8D

3 NNA GANAG TCC ACTTA T T A AAG AACG TGG ACTCCA AC GTC A AN G G GCG NAA AAC
500 510 520 530 540 550

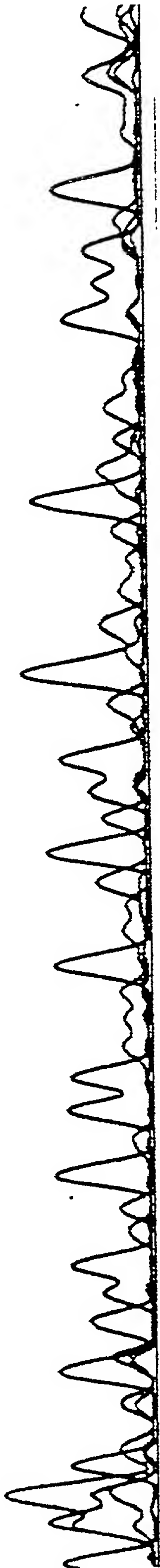


Fig. 8E

AT TTT T TGG GTGCGTGC GTGCGTAT TGGC T AN TTGN
600 610 620 630

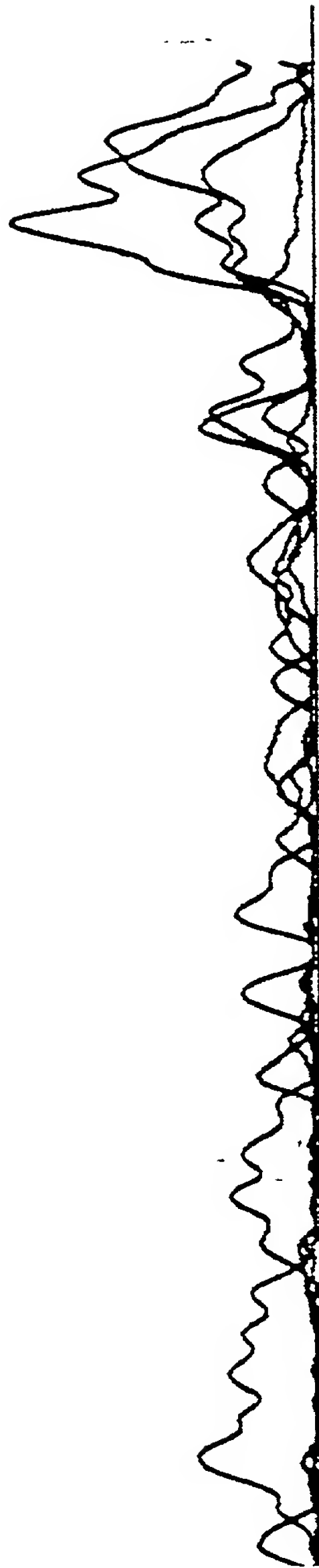


Fig. 8F

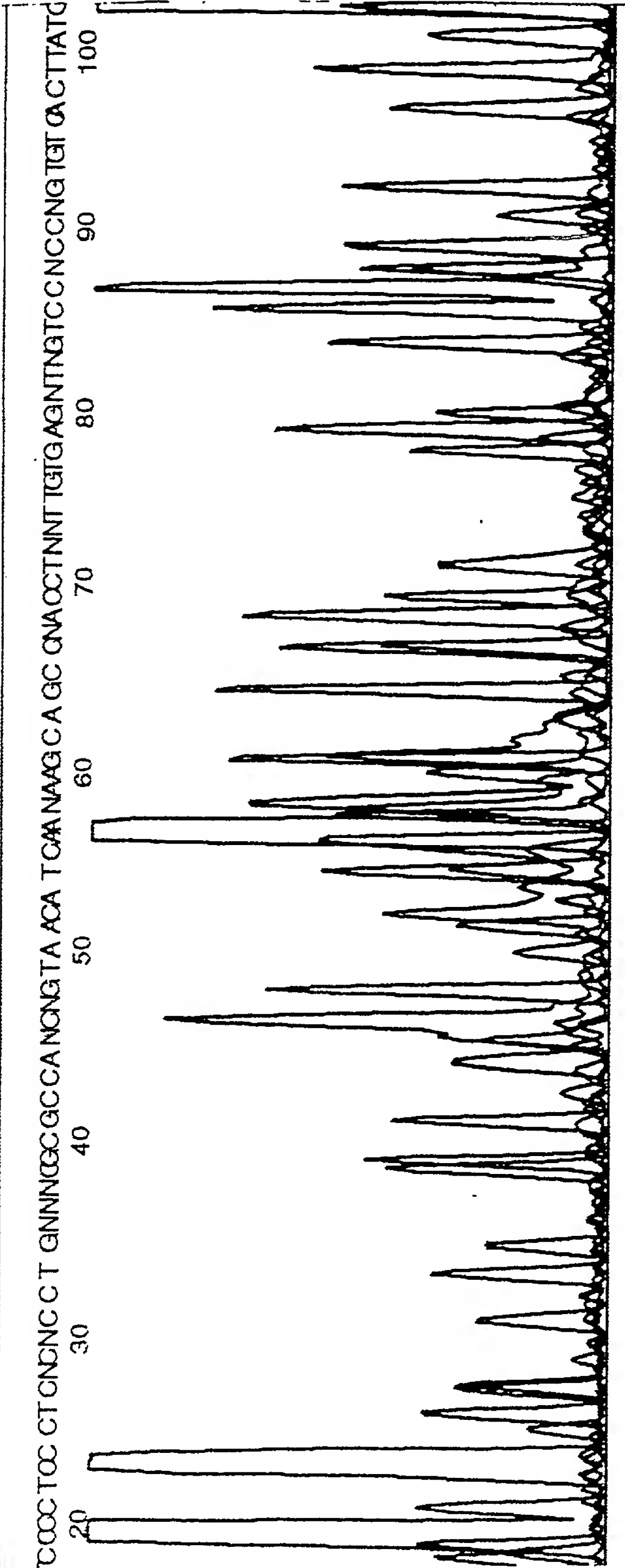


Fig. 9A

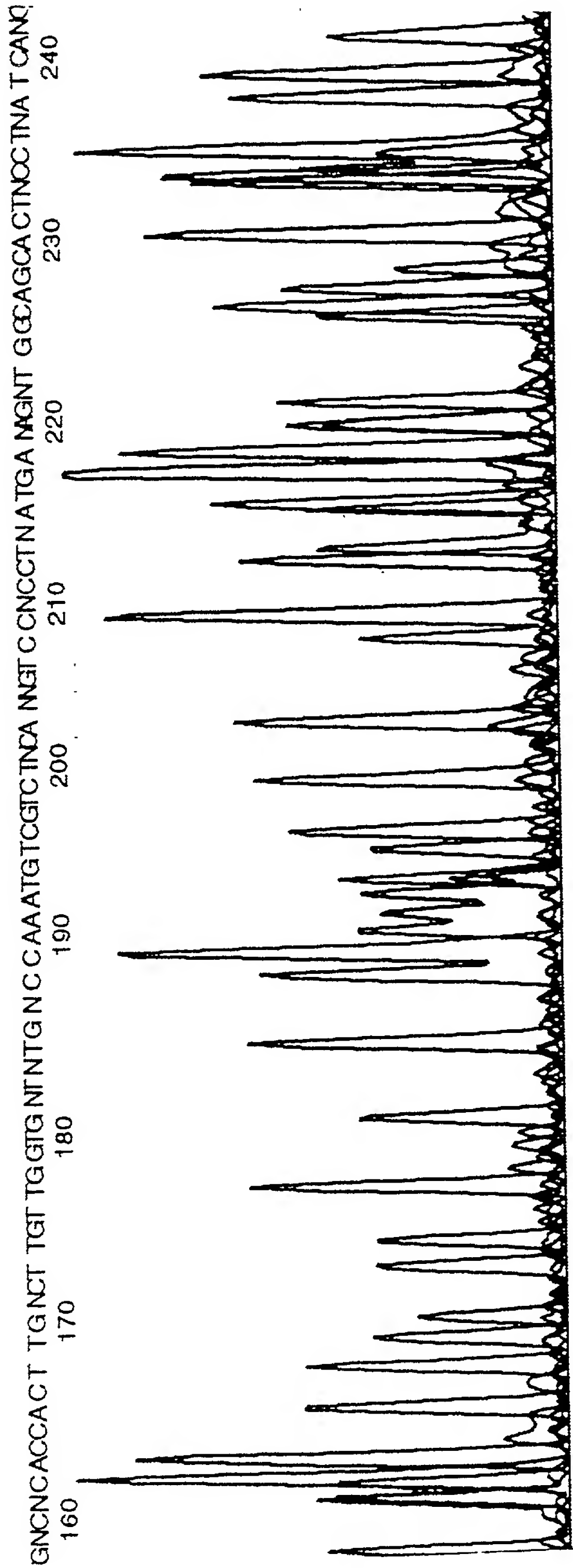


Fig. 9B

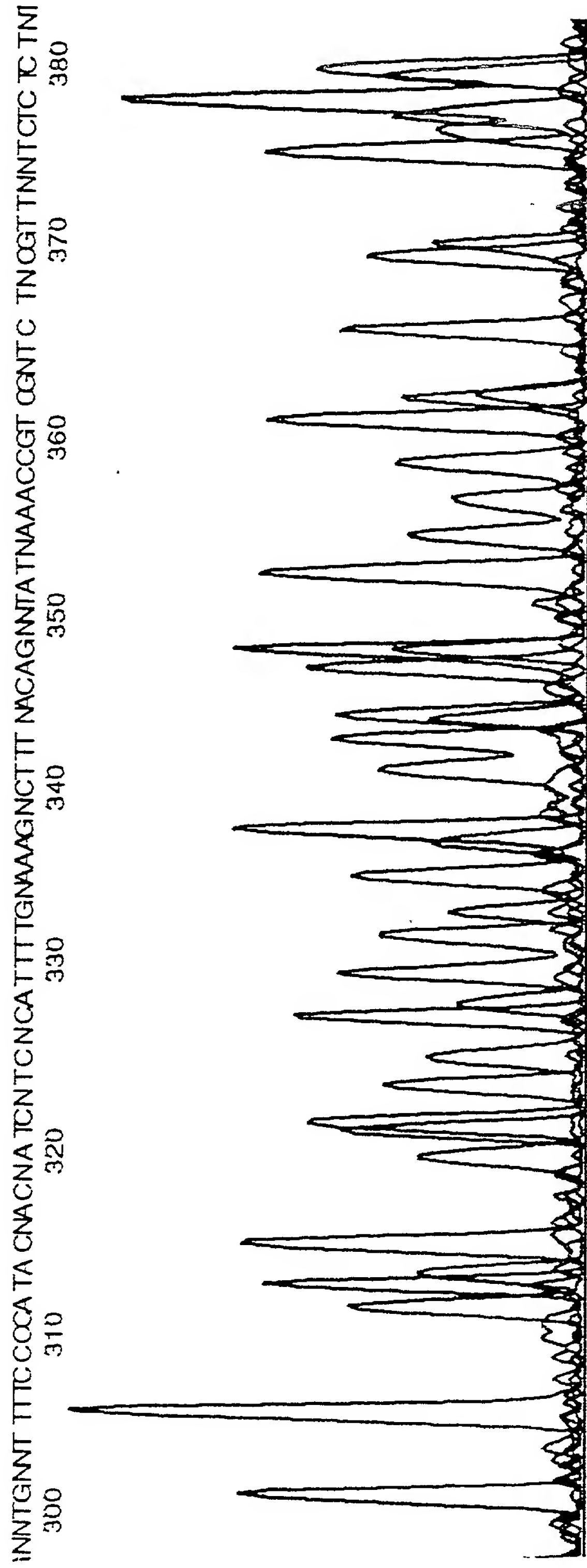


Fig. 9C

C TTCCGNGTNNACTOCNA GGTTCGCCANAGCNGTNGTCN TCGAGAA CGT GNNCGG T GGTNTTTTTGTGGCCTTA TTTTGGGGC
460 470 480 490 500 510 520 530 540

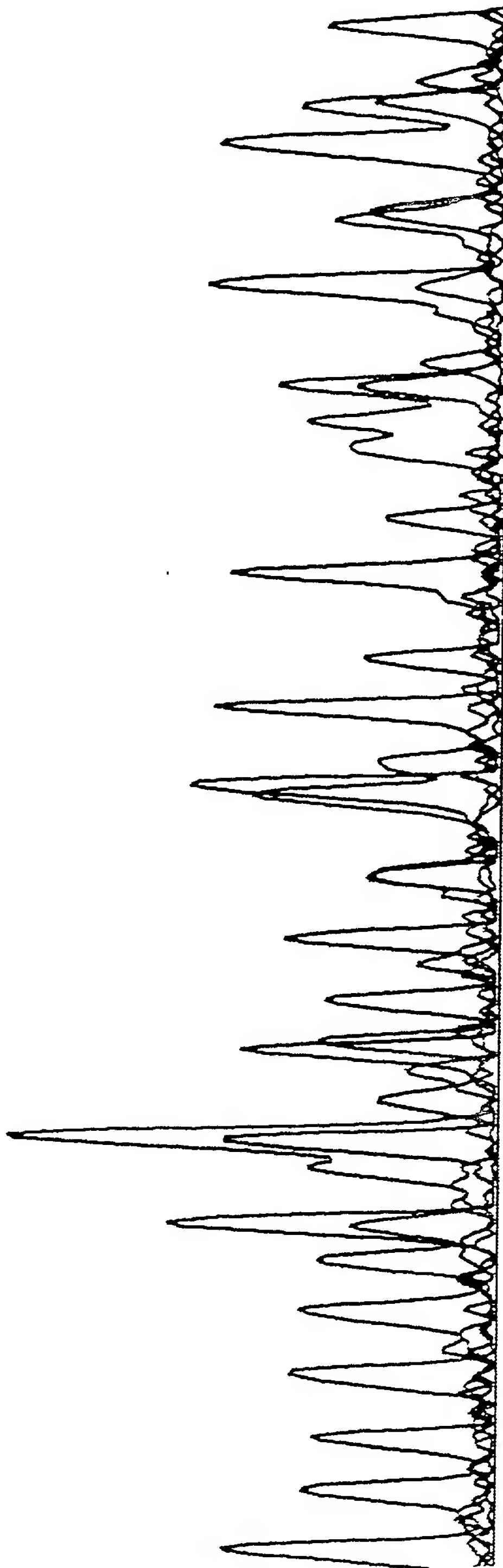


Fig. 9D

CCNGTNOGGGTGGAAGCTCA TTNNGEIANCTGACCTTTTIGGCTOC A NICTA CCCCCCGGNANCTT INGGGTCCCCTTNNAM
610 620 630 640 650 660 670 680 690



Fig. 9E

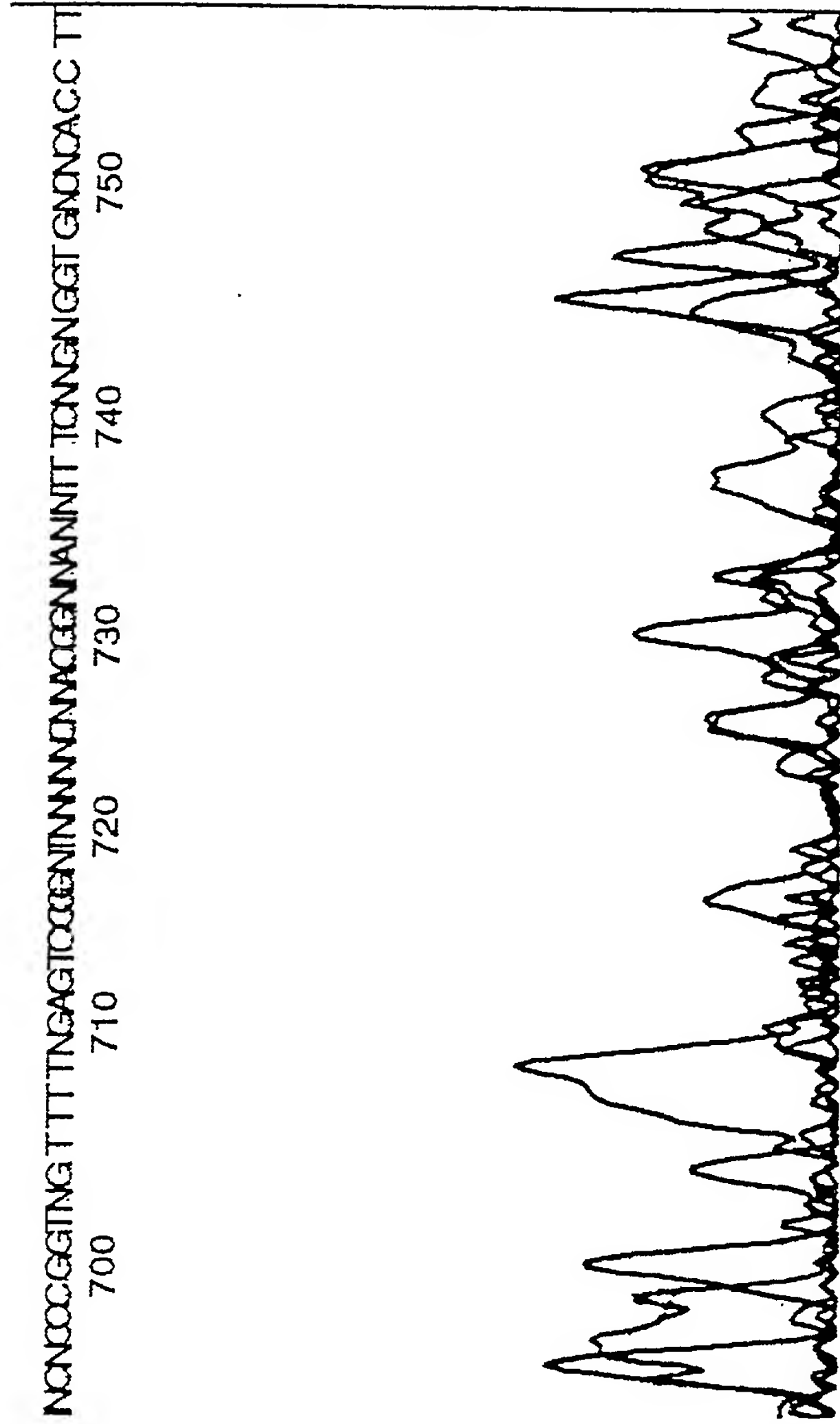


Fig. 9F